

Автолокализованные состояния носителей и диэлектрический гистерезис в неупорядоченных дипольных системах

© М.Д. Глинчук, В.А. Стефанович*, Л. Ястрабик**

Институт проблем материаловедения Академии наук Украины,
252680 Киев, Украина

* Институт физики полупроводников Академии наук Украины,
252650 Киев, Украина

** Институт физики Академии наук Чехии,
Прага, Чешская Республика

(Поступила в Редакцию 31 октября 1997 г.)

Развита теория автолокализованных состояний свободных носителей (флуктуонов) на флуктуациях поляризации в неупорядоченных сегнетоэлектриках типа $\text{KTaO}_3 : \text{Li, Nb}$. Основные характеристики флуктуона — его энергия, радиус локализации, эффективная масса и подвижность рассчитаны как функции концентрации примесных диполей и температуры. Теория предсказывает появление устойчивых флуктуонных состояний как в смешанной фазе сегнетоэлектрик–дипольное стекло так и в состоянии дипольного стекла неупорядоченных сегнетоэлектриков. Обсуждается возможная роль флуктуонов в проводимости и других кинетических явлениях в неупорядоченных сегнетоэлектриках.

Автолокализованные состояния носителей такие как поляроны [1] и флуктуоны [2] играют важную роль в физике полупроводников и диэлектриков. Флуктуон, как известно, это носитель, захваченный вблизи флуктуации поляризации кристалла [2,3]. Поэтому флуктуоны обусловлены взаимодействием носителя как с продольными, так и с поперечными колебаниями решетки. Последнее особенно существенно для сегнетоэлектриков, где спонтанная поляризация связана с поперечными фононами. Физика автолокализованных состояний развивалась в основном для поляронов (см., например, [1,4]), тогда как информация о флуктуонных состояниях очень ограничена. Теория флуктуонов в обычных сегнетоэлектриках была предложена в [5], где доменные стенки были рассмотрены как основной источник флуктуации поляризации. Однако в неупорядоченных дипольных системах, находящихся в состоянии дипольного стекла либо в смешанной сегнето-стеклольной фазе существуют лишь полярные кластеры ближнего порядка либо сосуществуют ближний и дальний порядок (см., например, [6] и ссылки там). Очевидно, что флуктуации поляризации должны быть характерной чертой таких систем. Учитывая существенную электропроводность во многих системах со случайными электрическими диполями [7–9], можно ожидать, что появление флуктуонов в таких системах более вероятно, чем в обычных сегнетоэлектриках.

В настоящей работе развивается теория автолокализованных флуктуонных состояний носителей заряда в системах со случайными электрическими диполями, которые могут индуцировать фазовые переходы дипольное стекло–сегнето-стекло–сегнетоэлектрическая фаза.

Расчеты проведены для модельной неупорядоченной системы с электрическими диполями $\text{K}_{1-x}\text{Li}_x\text{TaO}_3$ (KLT) ($x < 0.05$), в которой нецентральные ионы Li^+ являются случайными расположенными и ориентированными электрическими диполями в виртуальном сегнетоэлектрике KTaO_3 . Известно, что в KLT литиевые диполи индуцируют сегнетоэлектрический фазовый переход для $x > 0.05$

и переходы дипольное стекло–сегнето-стеклольная фаза для $x \leq 0.05$ при низких температурах $T < 50$ К [10]. Далее мы покажем, что в связи с большими флуктуациями поляризации в двух вышеуказанных фазах флуктуационные состояния автолокализованных носителей устойчивы и создают очень мелкие локальные состояния носителей в запрещенной зоне кристалла.

1. Общие уравнения

Функционал энергии флуктуона в приближении эффективной массы¹ для сильной связи с поляризацией диэлектрика с дипольными примесями может быть записан аналогично тому, как это сделал Пекар (см., например, [1]),

$$W = \frac{\hbar^2}{2m^*} \int |(\nabla\psi)^2| d^3r - \int \mathbf{P} \mathbf{D} d^3r + \int f d^3r, \quad (1)$$

где m^* , ψ и \mathbf{D} — соответственно эффективная масса, волновая функция и индукция электрического поля носителя, \mathbf{P} — поляризация, f — плотность свободной энергии неупорядоченного диэлектрика с дипольными примесями, полученная в [11]. Наиболее простое выражение для f получается в случае восьми возможных ориентаций примесного диполя (см. [11])

$$f = \frac{C}{2} (\nabla P)^2 + \frac{4\pi}{C_1} \left[\frac{1}{2} P^2 - \frac{d^{*2}}{V_0^2 \beta} \times \int_0^\infty \frac{(1 - \cos(\rho P_1 E_0(\rho))) \exp(F_1(\rho))}{\text{sh}(\pi \rho / 2\beta) \rho E_0(\rho)} d\rho \right],$$

$$C_1 = (1/\varepsilon_\infty) - (1/\varepsilon_0), \quad (2)$$

где $d^* = \gamma_0 d \varepsilon_0 / 3$ — эффективный дипольный момент примеси, γ_0 — фактор Лоренца, ε_0 и ε_∞ — низко- и

¹ Мы пренебрегаем анизотропией эффективной массы носителя, что не оказывает качественного влияния на свойства флуктуона.

высокочастотная диэлектрические проницаемости, функции $E_0(\rho)$ и $F_1(\rho)$ характеризуют соответственно среднее поле и полуширину функции распределения случайного электрического поля в системе [11], $P_1 = PV_0/d^*$, V_0 — объем элементарной ячейки, $\beta \equiv 1/kT$. Вектор \mathbf{D} — индукция электрического поля носителя (электрона) (см. [1]). Она дается формулой

$$\mathbf{D}(\mathbf{r}) = -e \int |\psi(\mathbf{r}_1)|^2 \frac{(\mathbf{r} - \mathbf{r}_1)}{|\mathbf{r} - \mathbf{r}_1|^3} d^3 r_1. \quad (3)$$

Далее для определенности будем считать, что \mathbf{P} и \mathbf{D} направлены вдоль оси z , т. е. $\mathbf{P} = P\mathbf{i}_z$ и $\mathbf{D} = D\mathbf{i}_z$.

Выражение (1) с учетом (2) и (3) определяет статические свойства нашего флуктуона. Независимая вариация (1) по ψ и P дает следующие уравнения для структуры флуктуона²

$$\begin{aligned} -D|\psi| - C\Delta P + \frac{4\pi}{C_1} \left[P - \frac{d^{*2}}{V_0^2\beta} \int_0^\infty \frac{\sin(\rho P_1 E_0(\rho)) \exp(F_1(\rho))}{\text{sh}(\pi\rho/2\beta)} d\rho \right] &= 0, \\ -\frac{\hbar^2}{2m^*} \Delta\psi - eP(\psi) \int \psi(\mathbf{r}_1) \frac{(z - z_1)}{|\mathbf{r} - \mathbf{r}_1|^3} d^3 r_1 &= 0. \end{aligned} \quad (4)$$

Система (4) должна быть решена при дополнительном условии нормировки

$$\int |\psi|^2 d^3 r = 1. \quad (5)$$

Система интегродифференциальных уравнений в частных производных (4) является основным теоретическим результатом работы. Она очень сложна и имеет много классов решений; одно из них отвечает носителю локализованному на различных неоднородностях \mathbf{P} типа доменных стенок. Многие физически важные заключения могут быть сделаны из анализа случая макроскопически однородной поляризации, т. е. когда $\Delta P = 0$. В этом случае связь между \mathbf{D} и \mathbf{P} становится алгебраической, а не дифференциальной, так что мы имеем

$$D = \frac{4\pi}{C_1} \left[P - \frac{d^{*2}}{V_0^2\beta} \int_0^\infty \frac{\sin(\rho P_1 E_0(\rho)) \exp(F_1(\rho))}{\text{sh}(\pi\rho/2\beta)\rho E_0(\rho)} d\rho \right]. \quad (6)$$

Отметим, что при $P_1 = L$, т. е. в равновесии, выражение в скобках (6) равно нулю, так что $D = 0$ и флуктуон не существует. Это означает, что несмотря на пренебрежение членом, содержащим ΔP , флуктуон по-прежнему существенно нелинейное явление. Более того, включение ΔP внесет только неоправданные осложнения, так как в неупорядоченных системах наиболее важные флуктуации возникают из-за беспорядка; они описываются уравнением (6).

² Здесь необходимо помнить, что для основного состояния флуктуона ψ есть действительная функция.

Система (4)–(6) остается достаточно общей. Она может быть применена к исследованию влияния носителей заряда на поляризацию в неупорядоченных диэлектриках. Это влияние оказывается важным в исследуемых веществах [12] и типично для сегнетоэлектриков — полупроводников [13]. Однако, данная система все еще слишком сложна, так что мы не смогли найти ее аналитического решения. Поэтому мы будем изучать свойства флуктуона прямым вариационным методом. Для этого мы должны подставить (6) в (1) с учетом (3) и минимизировать полученное выражение с учетом (5) с некоторой пробной функцией.

Для дальнейшего необходимо исследовать связь поляризации с индукцией, которая важна также и для описания диэлектрического гистерезиса в изучаемых системах в случае, когда D — индукция внешнего электрического поля. Перейдем к исследованию этого явления.

2. Диэлектрический гистерезис

В безразмерных переменных уравнение (6) имеет вид

$$D = P_1 - 4\pi\nu\tau \int_0^\infty \sin(2\pi P_1 g_2(x)) \frac{\exp(-2\pi\nu g_1(x))}{\text{sh}(2\pi^2\nu\tau x)} dx, \quad (7)$$

где $D = C_1 V_0 D / 4\pi d^*$, $\nu = nr_c^3$, $\tau = T / T_{CMF}$, $k_B T_{CMF} = 4\pi n d^{*2} / 3\epsilon_0$, $x = \rho d^{*2} / \epsilon_0 r_c^3$, функции $g_1(x)$ и $g_2(x)$ связаны с функциями $F_1(\rho)$ и $E_0(\rho)$, записанными в безразмерных переменных. В приближении среднего поля (7) упрощается и может быть записано как

$$D = P_1 - \text{th} \left(\frac{P_1}{\tau_1} \right). \quad (8)$$

Зависимость $P_1(D)$ (8) показана на рис. 1 для различных τ . Видно, что эта зависимость имеет s -образную форму при $\tau < 1$ ($T < T_{CMF}$), т. е. в сегнетоэлектрической фазе. Ниже будет показано, что часть кривой $P_1(D)$, где $dP_1/dD < 0$ отвечает максимуму энергии (а не минимуму как при $dP_1/dD > 0$), т. е. неустойчивому флуктуону. Таким образом, в сегнетоэлектрической фазе зависимость P_1 от внешнего электрического поля (в нашем случае это электрическая индукция D) имеет вид обычного гистерезиса. Ситуация качественно подобна и вне приближения среднего поля (рис. 1, б).

Отметим, что, если рассматривать D как функцию внешнего электрического поля, гистерезисные зависимости $P(E)$ могут быть использованы для описания экспериментально наблюдаемых петель диэлектрического гистерезиса в KTN и других виртуальных сегнетоэлектриках с дипольными примесями (см., например, [10,12,14,15]).

3. Неподвижный флуктуон

Зависимости $P_1(D)$ (рис. 1) позволяют сделать важное наблюдение: как "устойчивые", так и "неустойчивые" части гистерезисной кривой могут быть хорошо аппроксимированы прямыми линиями; максимальная ошибка имеет место вблизи точек, где $dP_1/dD = 0$. Такое приближение не влияет на качественные результаты и в то же время позволяет достаточно легко проанализировать структуру флуктуона аналогично случаю полярона Пекара (см. [1]).

Аппроксимация прямыми линиями гистерезисной зависимости (7) может быть сделана разложением ее в ряд вблизи $P_1 = P_0, D(P_0) = 0$ до первой степени по D ,

$$P_1 = P_0 + \frac{D}{\Phi(\nu, \tau)}, \quad \Phi(\nu, \tau) = \left(\frac{dP_1}{dD} \right) \Big|_{P=P_0}, \quad (9)$$

где P_0 определяется уравнением

$$P_0 = 4\pi\nu\tau \int_0^\infty \sin(2\pi P_0 g_2(x)) \frac{\exp(-2\pi\nu g_1(x))}{\text{sh}(2\pi^2\nu\tau x)} dx. \quad (10)$$

В явном виде

$$\Phi(\nu, \tau) = 1 - 8\pi^2\nu^2\tau$$

$$\times \int_0^\infty x g_1(x) \cos(2\pi P_0 g_2(x)) \frac{\exp(-2\pi\nu g_1(x))}{\text{sh}(2\pi^2\nu\tau x)} dx. \quad (11)$$

Данное разложение для "устойчивой" части гистерезиса может быть легко сделано, если положить в (11) $P_0 = 0$.

Отметим, что в приближении среднего поля явные выражения для указанного разложения следующие:

$$P_1 = P_0 + D \frac{\tau \text{ch}^2 P_0/\tau}{\tau \text{ch}^2 P_0/\tau - 1} \quad (12)$$

для "устойчивой" и

$$P_1 = \frac{\tau}{\tau - 1} D$$

для "неустойчивой" частей гистерезиса.

С учетом (9)–(11) функционал энергии флуктуона принимает простой вид

$$W = \frac{\hbar^2}{2m^*} \int |(\nabla\psi)^2| d^3r - \frac{2\pi d^{*2}}{C_1 V_0^2(\nu, \tau)} \int D^2 d^3r, \quad (13)$$

$\Phi(\nu, \tau)$ определяется (11). Можно видеть, что выражение (3) для $D = D_z$ для сферически-симметричной функции $\psi = \psi(r)$ может быть тождественно переписано в виде

$$D(\mathbf{r}) = 4\pi \cos\theta \frac{e}{r^2} \int_0^r r_1^2 |\psi(r_1)|^2 dr_1. \quad (14)$$

Для получения энергии основного состояния флуктуона выберем однопараметрическую пробную функцию в виде

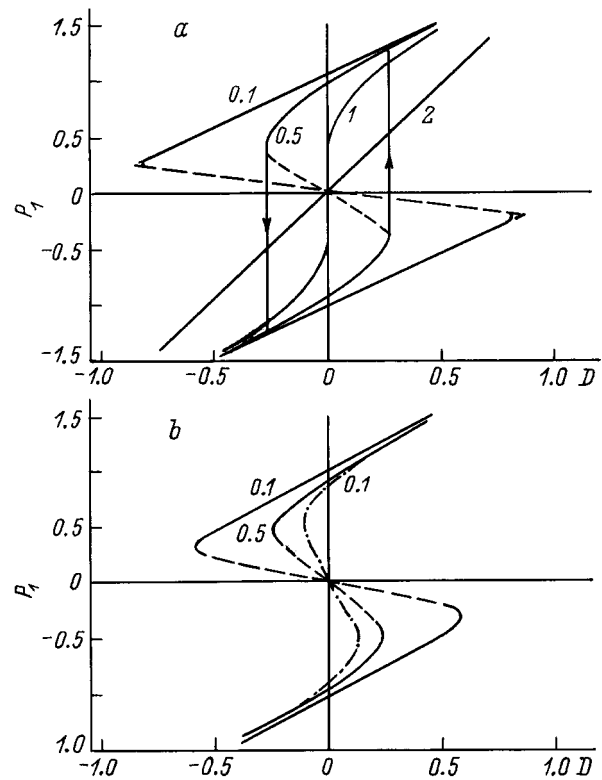


Рис. 1. Гистерезисная зависимость $P_1(D)$. Числа у кривых соответствуют значениям τ . *a* — приближение среднего поля: штриховые линии отвечают "неустойчивой" части гистерезисной кривой, а также ее аппроксимации прямыми линиями, вертикальные линии со стрелками показывают движение по кривой гистерезиса; *b* — вне приближения среднего поля: $\nu\tau^3 = 1$ (сплошные линии) и 0.05 (штрих-пунктирные линии).

Пекара (см. [1]). Такой выбор обусловлен тем, что эта функция дает низшую энергию основного состояния по сравнению со всеми другими однопараметрическими пробными функциями. Она имеет вид

$$\psi = \frac{1}{\sqrt{7\pi r_0^{3/2}}} \left(1 + \frac{r}{r_0} \right) \exp\left(-\frac{r}{r_0}\right), \quad (15)$$

где r_0 — вариационный параметр.

Подстановка (14) и (15) в (13) дает

$$W_\psi = \frac{3\hbar^2}{14m^*r_0^2} - 0.428332 \frac{e^2 C_1}{6\Phi(\nu, \tau)r_0}. \quad (16)$$

Легко показать, что для "неустойчивой" части гистерезиса энергия W_ψ имеет максимум (рис. 2), в то время как для "устойчивой" она имеет минимум, так что

$$r_{\min} = \frac{6\hbar^2\Phi(\nu, \tau)}{m^*e^2C_1},$$

$$W_{\min} = -0.0054946 \frac{m^*e^4C_1^2}{\hbar^2\Phi^2(\nu, \tau)}. \quad (17)$$

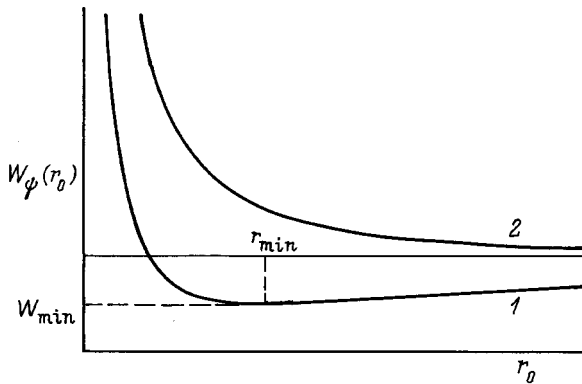


Рис. 2. Схематическая зависимость $W_\psi(r_0)$ (16) на "устойчивой" (1) и "неустойчивой" (2) частях гистерезисной кривой.

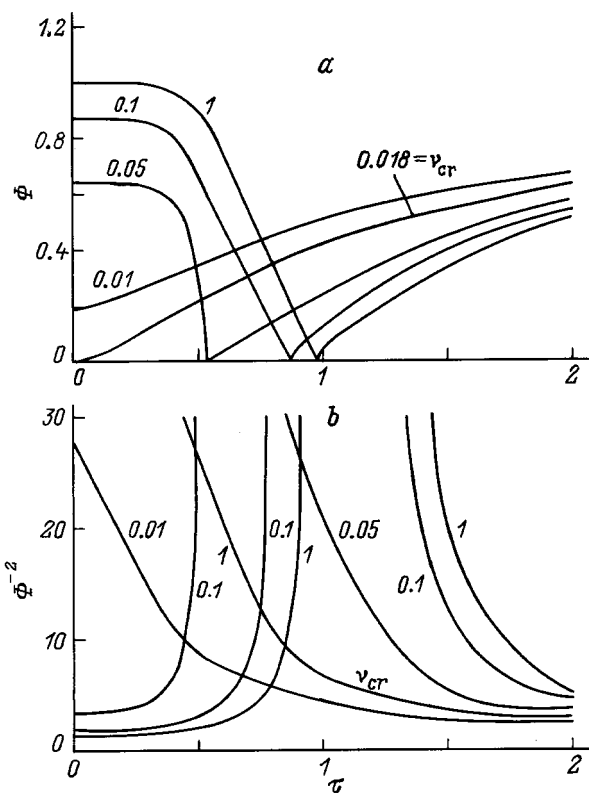


Рис. 3. Безразмерный радиус локализации Φ (a) и абсолютное значение энергии основного состояния флуктуона Φ^{-2} (b) как функции безразмерной температуры τ . Числа около кривых отвечают значениям $n\nu_c^3$.

Зависимости $\Phi(\nu, \tau)$ (безразмерный радиус локализации) и $1/\Phi^2$ (абсолютное значение безразмерной энергии основного состояния) показаны для различных ν на рис. 3 для параэлектрической, сегнетоэлектрической и фазы дипольного стекла в неупорядоченном сегнетоэлектрике (о фазовой диаграмме см., например, [11,15]). Видно, что в сегнетоэлектрической фазе радиус локализации имеет температурную зависимость, качественно подобную спонтанной поляризации. Это типичное проявление

флуктуонной (а не поляронной) природы локализации носителя в неупорядоченных сегнетоэлектриках. Действительно, рост спонтанной поляризации с уменьшением температуры означает подавление флуктуаций, что в свою очередь уменьшает вероятность образования флуктуона. Это же поведение следует из (17) и рис. 3, так как $|W_{\min}| \propto 1/r_{\min}^2$. Точки, где $\Phi(\nu, \tau) = 0$, отвечают температуре сегнетоэлектрического фазового перехода [11]. В этих точках $r_{\min} \rightarrow 0$, а $W_{\min} \rightarrow -\infty$. Это означает, что в точке фазового перехода флуктуон коллапсирует, а в пара- и сегнетоэлектрической фазе спонтанная поляризация отсутствует и локализация носителя обусловлена как флуктуациями поляризации, индуцированными случайными электрическими полями, так и обычным поляронным эффектом. В пределе $\nu \rightarrow 0$ носитель локализуется только из-за поляронного эффекта. Это следует из уравнений (9) и (16), где при $\tau \rightarrow \infty$ и/или $\nu \rightarrow 0$ оказывается, что $\Phi = 1$ и мы получаем случай полярона Пекара [1].

Поскольку асимптотика $\nu \rightarrow 0$ также справедлива для фазы дипольного стекла, которая реализуется при $\nu < \nu_{cr} \approx 0.0184$ [11], здесь мы снова имеем полярон Пекара. Однако при $\nu \propto \nu_{cr}$ и низких температурах поляронный вклад существен также и для состояния дипольного стекла.

4. Эффективная масса и подвижность флуктуона

Эффективная масса флуктуона, как обычно, может быть вычислена из его энергии при движении с малыми скоростями. Поскольку флуктуон связан с примесной подсистемой, его движение будет носить диссипативный характер.

Уравнения движения флуктуона могут быть легко получены с помощью свободной энергии (2) как уравнения Ландау-Халатникова

$$\frac{dP_1}{dt} = -\Gamma \frac{\delta F}{\delta P_1}, \quad (18)$$

где F — свободная энергия (2), взятая при $C = 0$, Γ — кинетический коэффициент, связанный со временем релаксации поляризации [16].

Явный вид уравнения (18) следующий:

$$\frac{dP_1}{dt} = \Gamma \frac{4\pi d^{*2}}{C_1 V_0^2} \left[D - P_1 + \int_0^\infty \sin(2\pi P_1 g_2(x)) \frac{\exp(-2\pi\nu g_1(x))}{\text{sh}(2\pi^2\nu\tau x)} dx \right]. \quad (19)$$

Процедура линеаризации вблизи P_0 может быть применена и к (19). Полагая $P = P_0 + \delta P$, получим

$$\frac{d\delta P}{dt} = -\Gamma \frac{4\pi d^{*2}}{C_1 V_0^2} [-D + \Phi\delta P], \quad (20)$$

где Φ определено (11). Решение (20) имеет вид

$$P_1 - P_0 = \gamma \exp(-\gamma\Phi t) \int_{-\infty}^t D(t_1) \exp(\gamma\Phi t_1) dt_1,$$

$$\gamma = \Gamma \frac{4\pi d^{*2}}{C_1 V_0^2}. \quad (21)$$

Это решение справедливо при произвольных скоростях флукутона. Исследование движения флукутона с произвольными скоростями (например во внешнем электрическом поле) интересно с точки зрения описания кинетических явлений (таких как фотопроводимость [9]) в исследуемых веществах. Такое исследование может быть сделано аналогично работе Давыдова и Энольского [17] для полярона Пекара. Мы же ограничимся изучением движения флукутона с малыми скоростями.

Пусть флукутон движется вдоль оси x . В этом случае $D = D(x - vt, y, z)$, v — скорость. При малых v из (21) получим

$$P_1(\xi, y, z) - P_0 \simeq \frac{1}{\Phi} \left(D + \zeta \left(\frac{\partial D}{\partial \xi} \right) + \zeta \left(\frac{\partial^2 D}{\partial \xi^2} \right) + \dots \right),$$

$$\xi = x - vt, \quad \zeta = \frac{v}{\gamma\Phi}. \quad (22)$$

Для получения (22) из (21) мы положили в (21) $t - t_1 = t_2$ и разложили результирующее выражение по t_2 с учетом $\partial/\partial t = -v\partial/\partial \xi$.

Из (22) следует, что при $v = 0$ мы имеем результат (9) для покоящегося флукутона. Подстановка (20) в (1) после несложных преобразований дает следующее выражение для энергии флукутона, двигающегося с малыми скоростями

$$W_v = \frac{\hbar^2}{2m^*} \int |(\nabla\psi)^2| d^3r - \frac{2\pi d^{*2}}{C_1 V_0^2} \left[\frac{1}{\Phi(\nu, \tau)} \int D^2 d^3r - \frac{u^2}{\gamma^2 \Phi^3} \int \left(\frac{\partial D}{\partial x} \right)^2 d^3r \right]. \quad (23)$$

Следующий шаг, как обычно, подстановка в (23) $\psi_v = \psi_0 + v^2\psi_1$ и нахождение коэффициента коэффициента при v^2 в энергии W_v . Это дает

$$\mathcal{M} = \frac{C_1 V_0^2}{4\pi d^{*2} \Gamma^2 \Phi^3} \int \left(\frac{\partial D}{\partial x} \right)^2 d^3r, \quad (24)$$

где \mathcal{M} — искомая эффективная масса флукутона. Для ее расчета достаточно использовать волновую функцию ψ_0 покоящегося полярона (15) (см., например, [1,18]).

В пределе малых скоростей флукутона его подвижность также может быть рассчитана. Можно показать, что во внешнем электрическом поле \mathcal{E} (предположим, что оно направлено по оси x) уравнение движения

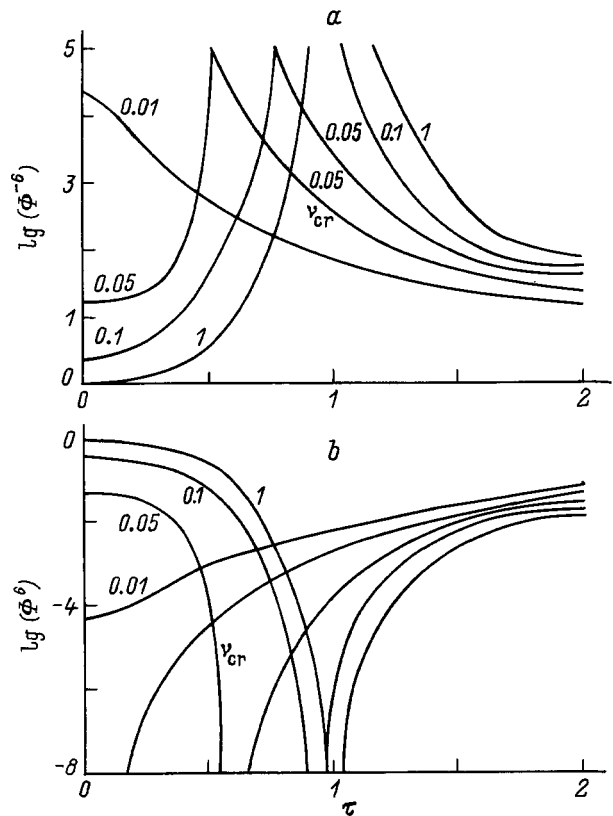


Рис. 4. Безразмерная эффективная масса флукутона Φ^{-6} (a) и подвижность Φ^6 (b) как функции безразмерной температуры τ . Числа около кривых отвечают значениям nrc^3 .

флукутона имеет вид

$$e\mathcal{E}v = \frac{dW_i}{dt}, \quad (25)$$

где W_i — энергия движущегося флукутона. При малых v $dW_i/dt \simeq W_i/\tau_0$, где τ_0 — время релаксации поляризации. Так как при малых v $W_i - W_0 \simeq \mathcal{M}v^2/2$, где W_0 — энергия покоящегося флукутона, \mathcal{M} — эффективная масса (24), для подвижности $\mu = v/\mathcal{E}$ получим

$$\mu = \frac{2e\tau_0}{\mathcal{M}}. \quad (26)$$

Выражение (26) для подвижности флукутона формально тождественно формуле для подвижности зонного носителя в полупроводнике (см., например, [19]). Из него следует, что при малых скоростях подвижность флукутона обратно пропорциональна его эффективной массе.

Подстановка пробной функции (15) в (24) с учетом (14) и (17) дает

$$\mathcal{M} = 2.719 \cdot 10^{-7} \frac{C_1^6 V_0^4 e^8 m^{*3}}{\Gamma^2 d^{*4} \hbar^6} \frac{1}{\Phi_6} (g). \quad (27)$$

Безразмерные эффективная масса и подвижность флукутона показаны на рис. 4, a и b соответственно.

Видно, что в точках фазового перехода эффективная масса становится бесконечно большой, а подвижность обращается в нуль. Это означает, что в точках фазового перехода флуктуонный вклад в подвижность полностью исчезает. Максимальный флуктуационный вклад имеет место, как это видно, при $T = 0$ в сегнетоэлектрической фазе. Это означает, что тепловые и пространственные флуктуации в примесной подсистеме подавляют флуктуонный вклад в проводимость.

Отметим, что температурное и концентрационное поведение подвижности качественно подобно поведению радиуса локализации (сравни рис. 3, *a* и 4, *b*), так что все обсуждавшиеся выше эффекты проявляются также и в подвижности.

Сделаем некоторые численные оценки. К сожалению, экспериментальные данные (см. [10,14,15] и ссылки там) для неупорядочения диэлектриков недостаточны для более-менее точного расчета параметров флуктуона. Поэтому здесь мы ограничимся лишь порядковыми оценками. Из (17) имеем

$$r_{\min} = 3.18 \frac{\Phi}{\alpha C_1}, \text{ \AA}, \quad W_{\min} = -0.16 \frac{\alpha C_1^2}{\Phi^2}, \text{ eV}, \quad (28)$$

где $\alpha = m^*/m_0$, m_0 — масса свободного электрона. Для справедливости использованного приближения эффективной массы необходимо, чтобы r_{\min} было достаточно большим, $r_{\min}/a \geq 3-4$, где $a \simeq 4 \text{ \AA}$ — постоянная решетки KTaO_3 . Полагая в (28) $r_{\min} = 3a$, получим $\Phi/\alpha C_1 \simeq 3.8$, что дает

$$W_{\min} \simeq -\frac{0.01}{\alpha}, \text{ eV}.$$

Известно, что приближение эффективной массы хорошо выполняется для $|W_{\min}| \leq 0.01 \text{ eV}$. В этом случае $\alpha \sim 1$, т. е. для существования флуктуона "затравочный" носитель должен быть тяжелым. Это заключение, однако ограничено использованным приближением эффективной массы³.

Оценки эффективной массы и подвижности также оказываются очень грубыми из-за отсутствия достоверных значений Γ . Взяв $\Gamma \sim V_0/W_{\min}\tau_0$, получим оценку $M \sim 10^3 m_0$. Эта оценка делает флуктуонный вклад в проводимость очень малым, но необходимо помнить, что более точные значения Γ и m^* могут изменить это значение на порядки.

Работа была выполнена при частичной финансовой поддержке Международной соросовской программы поддержки просвещения в области точных наук (ISSEP) (грант N SPU072012).

³ Наш метод позволяет выйти за рамки приближения эффективной массы. В этом случае периодический потенциал решетки кристалламатрицы должен быть включен во флуктуонный функционал (1).

Список литературы

- [1] С.И. Пекар. Собрание трудов. Наук. думка, Киев (1987). 380 с.
- [2] М.А. Кривоглаз. УФН **16**, 856 (1974).
- [3] М.И. Клингер. УФН **28**, 391 (1985).
- [4] Ю.А. Фирсов. Поляроны. Наука, М. (1975).
- [5] Б.В. Егоров, И.Б. Егорова, М.А. Кривоглаз. ФТТ **26**, 7, 1874 (1984).
- [6] M.D. Glinchuk, R. Farhi. J. Phys.: Condens. Matter. **8**, 6985 (1996).
- [7] А.И. Лебедев, И.А. Случинская. ФТТ **35**, 3, 629 (1993).
- [8] K. Woicik, J. Blaszczak, J. Handerek. Ferroelectrics **70**, 3946 (1986).
- [9] R.S. Klein, G.E. Kugel, M.D. Glinchuk, R.O. Kuzian, I.V. Kondakova. Phys. Rev. **B50**, 8, 9721 (1994).
- [10] В.Е. Вугмейстер, М.Д. Глинчук. Rev. Mod. Phys. **62**, 4, 993 (1990).
- [11] V.A. Stephanovich. Ferroelectrics **192**, 1-4, 29 (1997).
- [12] Б.Е. Вугмейстер, М.Д. Глинчук. УФН **28**, 7, 459 (1985).
- [13] В.М. Фридкин. Сегнетоэлектрики-полупроводники. Высш. шк., М. (1976). 257 с.
- [14] W. Kleemann. Int. J. Mod. Phys. **B7**, 13, 2469 (1993).
- [15] U.T. Hochli, K. Knorr, A. Loidl. Adv. Phys. **39**, 5, 405 (1990).
- [16] R. Blinc, B. Zeks. Soft modes in ferroelectrics and antiferroelectrics. North-Holland (1974). 342 p.
- [17] А.С. Давыдов, В.З. Энольский. ЖЭТФ **81**, 10, 1088 (1981).
- [18] Ю.Г. Семенов, В.А. Стефанович. ЖЭТФ **101**, 3, 1024 (1992).
- [19] А.И. Ансельм. Введение в теорию полупроводников. Наука, М. (1978). 832 с.